

中部工業大学 正員 ○ 松尾 直規
京都大学工学部 正員 岩佐 義朗
京都大学大学院 学生員 大森 順夫

1. はじめに；貯水池の富栄養化対策の一つに空気注入による曝気があるが、その方式には種々なものがあり、いずれが最も効果的であるかはよくわかっていない。いすれにせよ曝気による水質改善の効果を知るには、まず曝気に伴う空気泡アリュームならびに周囲水の流れの運動を明らかにすることが重要である。本研究では、こうした課題を取り扱うための第一歩として、静止液体中ににおける空気泡アリュームの運動と円筒座標系を用いた数学モデルで表現し、その数値解剖例について考察した。

2. 数値解剖モデル：空気泡アリュームの運動に関する研究には、空気防波堤工対象とした栗原¹⁾、岩垣²⁾、Kobayashi³⁾のものなどがあるが、これらの解析においてはいずれも、気泡は極めて小さく気泡の水に対する相対速度や気泡の容積変化は無視しうるものとしてXの取扱いを行っている。こうして取扱いは、気液混相流の詳細を厳密に知ろうとする上では十分とは言えないが、実用上の観察からすればほどんど支障はないであろう。一方、静止液体中ににおける空気泡アリュームはほぼ球形状に振るうと考えてよいことから、Xのモデル化にあたっては都合の良い円筒座標系(r, θ, z)を用いる。この場合、 θ 方向への諸量の変化は他方向へのそれに対して小さくあえて無視しうるものとして、さうに発生熱量はなく、流れは完全な乱流であると仮定する。

以上の諸条件のもとに单纯化された基礎数学モデルを図-1に示すようなコントロール・ボリュームについて展開することにより、以下に示すような空気泡アリュームの数値解剖モデルが得られる。すなはち、中間層ドロップについて次のようになる。

1) 水の連続式： $[rV_r]_{r=r_i}^{r=r_{i+1}} \cdot 2\Delta r + [V_z]_{z=z_k}^{z=z_{k+1}} (r_{i+1}^2 - r_i^2) = 0 \quad (1)$

2) r 方向の運動量保存則：

$$\begin{aligned} & \frac{\partial V_r}{\partial t} + \frac{2}{r_{i+1}^2 - r_i^2} [rV_r^2]_{r=r_i}^{r=r_{i+1}} + \frac{1}{\Delta z} [V_z V_r]_{z=z_k}^{z=z_{k+1}} \\ &= -\frac{2}{r_{i+1}^2 - r_i^2} \left\{ \left[\frac{rP}{\rho} \right]_{r=r_i}^{r=r_{i+1}} - \int_{r=r_i}^{r=r_{i+1}} \frac{dp}{\rho} dr \right\} + \frac{2}{r_{i+1}^2 - r_i^2} \left[r \epsilon_{rr} \frac{\partial V_r}{\partial r} \right]_{r=r_i}^{r=r_{i+1}} \\ &+ \frac{1}{\Delta z} \left[\epsilon_{rz} \frac{\partial V_z}{\partial z} \right]_{z=z_k}^{z=z_{k+1}} \end{aligned} \quad (2)$$

3) z 方向の運動量保存則：

$$\begin{aligned} & \frac{\partial V_z}{\partial t} + \frac{2}{r_{i+1}^2 - r_i^2} [rV_r V_z]_{r=r_i}^{r=r_{i+1}} + \frac{1}{\Delta z} [V_z^2]_{z=z_k}^{z=z_{k+1}} \\ &= -g - \frac{1}{\Delta z} \left[\frac{p}{\rho} \right]_{z=z_k}^{z=z_{k+1}} + \frac{2}{r_{i+1}^2 - r_i^2} \left[r \epsilon_{rz} \frac{\partial V_z}{\partial r} \right]_{r=r_i}^{r=r_{i+1}} \\ &+ \frac{1}{\Delta z} \left[\epsilon_{zz} \frac{\partial V_z}{\partial z} \right]_{z=z_k}^{z=z_{k+1}} \end{aligned} \quad (3)$$

4) 水温収支則： $\frac{\partial T}{\partial t} + \frac{2}{r_{i+1}^2 - r_i^2} [T V_r T]_{r=r_i}^{r=r_{i+1}} + \frac{1}{\Delta z} [T V_z]_{z=z_k}^{z=z_{k+1}} = \frac{2}{r_{i+1}^2 - r_i^2} \left[r \epsilon_{rr} \frac{\partial T}{\partial r} \right]_{r=r_i}^{r=r_{i+1}} + \frac{1}{\Delta z} \left[\epsilon_{rz} \frac{\partial T}{\partial z} \right]_{z=z_k}^{z=z_{k+1}} \quad (4)$

5) 空気泡密度 収支則： $\frac{\partial P_c}{\partial t} + \frac{2}{r_{i+1}^2 - r_i^2} [P_c V_r T]_{r=r_i}^{r=r_{i+1}} + \frac{1}{\Delta z} [P_c V_z]_{z=z_k}^{z=z_{k+1}} = \frac{2}{r_{i+1}^2 - r_i^2} \left[r \epsilon_{rr} \frac{\partial P_c}{\partial r} \right]_{r=r_i}^{r=r_{i+1}} + \frac{1}{\Delta z} \left[\epsilon_{rz} \frac{\partial P_c}{\partial z} \right]_{z=z_k}^{z=z_{k+1}} + P_{cin} \quad (5)$

上まで用いた記号の説明は既報⁴⁾の通りであり、ここでは省略するが、密度 ρ は、 $\rho = \rho_{wr} - \rho_c$ (ここで、 ρ_{wr} は空気泡を含まないときの水の密度で水温Tの関数)で表わす。なお、水面及び底面に接するブロックでは、各面において通常用いられる各種境界条件より(1)～(5)が変形されることになる。

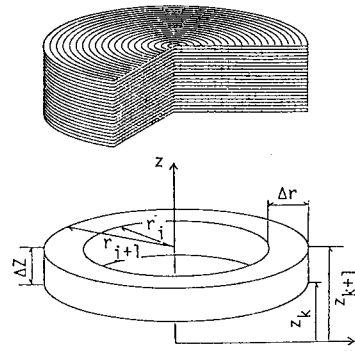


図-1 空気泡アリュームの解析に用いるコントロール・ボリューム

ところで、いま正方向の加速度が無視され圧力 p が静水圧分布で近似される場合には、問題は簡単化され、

(3) 式は次式で代用されることになる。

$$p = \int_z^{z_s} \rho g dz \quad (6)$$

こうした单纯化モデルでき、空気泡パリエームが十分に発達し、それに伴う水平水流が卓越する領域では、実用上十分な解析が期待できると考えられる。一方、波が卓越するパリエームの上昇域に着目すれば、その上昇に伴う水位変化が極めて小さく、波の変化が浮力のみに依存する場合には、(2)式を省略し、栗原¹⁾の解析と同様の取扱いを行なうことを考えるか、ここで行なえない。以下では、(1)～(5)までのモデル及び鉛直方向に静水圧分布を仮定したモデルによる数値解析例（前者を Case-1、後者を Case-2 とする）について考察を進める。

3. 数値解析例とその考察：いづれの解析においても、図-2 のように各水理量の計算点を配置するとともに、時間的に水位と他の諸量との計算点を左 Δt だけずらし交互にあわせて並べていく前進型の Staggered 差分法を用いた。また、(1)～(5)までの多く解く場合には、従来より過渡現象の数値解析にしばしば用いられている Hirt & Cook の反復修正法を使って、許容誤差 ϵ の収束化を図っている。

図-3, 4 に各モデルによるパリエーム近傍の流速分布の計算例を示す。両図より、いづれの例においてもパリエームの上昇に伴う周囲水の運行と、水面近くでそれが水平方向に転ずる様子が再現されていることがわかるが、水平方向へ転ずる位置は、静水圧分布を仮定した場合の方が深くなっている。図-5, 6 には、このときの鉛直流速成分の分布を中心部の表面流と、パリエーム幅 b ($Ver. 1.20$ が $e^{\frac{1}{2}}$ になる位置 z の値) で無次元化して示している。いづれの場合も、ほほ図中に記したガウス分布曲線に沿う分布形であり、すなごの現象においてもほほ相似形になっていることがわかる。こうした特性は、従来の理論解析の結果と一致するものであり、計算結果の妥当性を示すものと考えてよいであろう。次に、図-7 に示したパリエーム幅 b の正方向への変化をみると、いづれの場合もパリエーム幅 b は上昇に伴ってほほ直線的に変化していることがわかる。しかしながら、 X の値を、図-8 に示した中心部流速の正方向への変化よりわかるように、中心部流速が最大となる位置を常に、わずかではあるが変わっている。すなご、パリエームの加速領域と振動領域では、流の特徴が異なることを反映していると考えられる。なお、図-7 の図中には比較のため、Rouse³⁾ の鉛直パリエームに関する結果より、 X の値を示している。

以上、空気泡パリエームの数値解析法とその解析例について述べて王たか、図-6 ～図-8 に示す各節の解説にはまだ多くの課題が残されており、今後ともさらには検討を進めていきたい。

参考文献：1) 栗原：空気防波堤の研究に就いて、九大应用力学研究所報告第5号、昭和2年8月、2) 岩佐：空気防波堤の性能向上に関する研究、文部省科学研究費研究(2)研究報告書、昭和56年3月
3) Kobus, E.H.; Analysis of the flow induced by air-bubble systems,

Proc. 11th Conference on Coastal Eng., 1968 4) 岩佐：曝露塔

計測出力したパリエームの数値解析、昭和58年度関西支部年譲、昭和58年

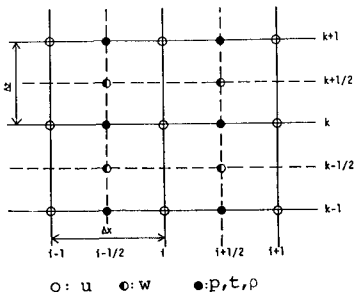


図-2 計算格子における計算点の配置

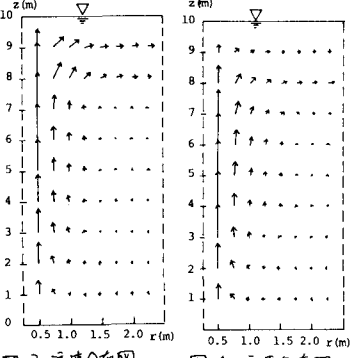


図-3 流速分布図 (Case-1)

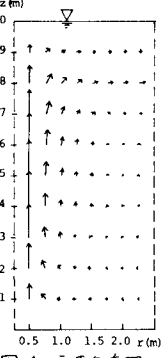


図-4 流速分布図 (Case-2)

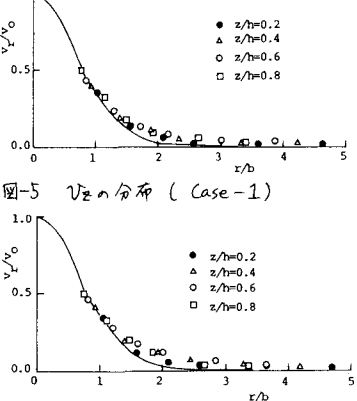


図-5 速度の分布 (Case-1)

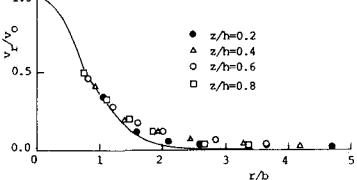


図-6 速度の分布 (Case-2)

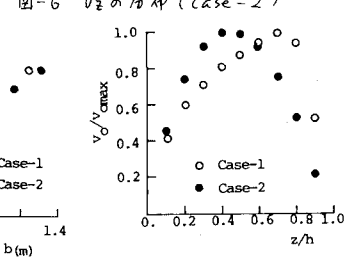


図-7 パリエーム幅の変化